



0951.65686

PATENT
#3/IN THE UNITED STATES PATENT AND TRADEMARK OFFICE

Applicant: Fujiwara et al.

Serial No. 09/901,981

Filed: July 10, 2001

For: DATA REPRODUCING
METHOD AND DEVICE
REPRODUCING DATA
ACCORDING TO A VITERBI
DECODING ALGORITHM
USING AN AVERAGE VALUE
OF A REPRODUCTION SIGNAL)

Art Unit: 1773

I hereby certify that this paper is being deposited with the
United States Postal Service as FIRST-CLASS mail in an
envelope addressed to: Assistant Commissioner for Patents,
Washington, D.C. 20231 on this date.

14 Jan 02
Date
F-CLASS.WCM
Appr. February 20, 1998

Registration No. 29367
Attorney for Applicant

CLAIM FOR PRIORITY

Assistant Commissioner for Patents
Washington, DC 20231

RECEIVED

APR 10 2002

Technology Center 2100

Sir:

Applicants claim foreign priority benefits under 35 U.S.C. § 119 on the
basis of the foreign application identified below:

Japanese Patent Application No. 2001-063895, filed March 7, 2001.

A certified copy of the priority document is enclosed.

Respectfully submitted,

GREER, BURNS & CRAIN, LTD.

By

Patrick G. Burns
Registration No. 29,367

RECEIVED
MAR 13 2002
TC 1700COPY OF PAPERS
ORIGINALLY FILED

January 14, 2002

300 South Wacker Drive
Suite 2500
Chicago, Illinois 60606
Telephone: 312.360.0080
Facsimile: 312.360.9315

#3/3-2202
v. Jones

9131

COPY OF PAPERS
ORIGINALLY FILED



PATENT OFFICE
JAPANESE GOVERNMENT

This is to certify that the annexed is a true copy
of the following application as filed with this office.

RECEIVED

MAR 21 2002

Technology Center 2100

Date of Application: March 7, 2001

Application Number: Japanese Patent Application
No. 2001-063895

Applicant(s) FUJITSU LIMITED
FUJITSU PERIPHERALS LIMITED

RECEIVED

MAR 14 2002

Technology Center 2100

June 14, 2001

Commissioner,
Patent Office

Kouzo Oikawa (Seal)

Certificate No. 2001-3056028

09/20-381



日 本 国 特 許 庁
JAPAN PATENT OFFICE

別紙添付の書類に記載されている事項は下記の出願書類に記載されている事項と同一であることを証明する。

This is to certify that the annexed is a true copy of the following application as filed with this Office

出 願 年 月 日

Date of Application:

2001年 3月 7日

出 願 番 号

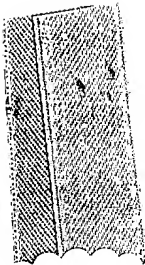
Application Number:

特願2001-063895

出 願 人

Applicant(s):

富士通株式会社
富士通周辺機株式会社



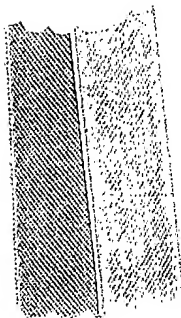
RECEIVED

MAR 14 2002

Technology Center 2100

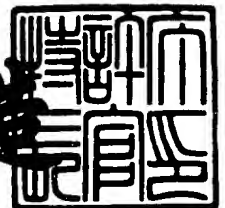
CERTIFIED COPY OF
PRIORITY DOCUMENT

2001年 6月14日



特 許 庁 長 官
Commissioner,
Japan Patent Office

及 川 耕 造



【書類名】 特許願

【整理番号】 0095386

【提出日】 平成13年 3月 7日

【あて先】 特許庁長官 及川 耕造 殿

【国際特許分類】 G11B 7/00

【発明の名称】 データ再生方法及びデータ再生装置並びに光磁気ディスク装置

【請求項の数】 10

【発明者】

【住所又は居所】 兵庫県加東郡社町佐保 3 5 番 富士通周辺機株式会社内

【氏名】 藤原 徹

【発明者】

【住所又は居所】 神奈川県川崎市中原区上小田中 4 丁目 1 番 1 号 富士通株式会社内

【氏名】 田口 雅一

【特許出願人】

【識別番号】 000005223

【氏名又は名称】 富士通株式会社

【特許出願人】

【識別番号】 592019877

【氏名又は名称】 富士通周辺機株式会社

【代理人】

【識別番号】 100070150

【住所又は居所】 東京都渋谷区恵比寿 4 丁目 2 0 番 3 号 恵比寿ガーデンプレイスタワー 3 2 階

【弁理士】

【氏名又は名称】 伊東 忠彦

【電話番号】 03-5424-2511

【手数料の表示】

【予納台帳番号】 002989

【納付金額】 21,000円

【提出物件の目録】

【物件名】 明細書 1

【物件名】 図面 1

【物件名】 要約書 1

【包括委任状番号】 9704678

【包括委任状番号】 9708941

【プルーフの要否】 要

【書類名】 明細書

【発明の名称】 データ再生方法及びデータ再生装置並びに光磁気ディスク装置

【特許請求の範囲】

【請求項 1】 記録媒体からの再生信号が供給され、ビタビ復号アルゴリズムに従って前記再生信号から最も確からしい状態遷移のパスを選択し、そのパスに応じたデータを再生するデータ再生方法において、

前記状態遷移のパスを選択する為のデータに応じて前記再生信号の状態を 1 つ以上検出する状態検出段階と、

前記検出された 1 つ以上の再生信号の状態毎に前記再生信号の平均値を算出する平均値算出段階と、

前記再生信号の平均値に応じて前記再生信号の直流成分の変動量に追従する追従段階と

を備えたデータ再生方法。

【請求項 2】 前記状態検出段階は、ビタビ検出器のパスメモリに供給されるデータを前記状態遷移のパスを選択する為のデータとして出力する段階と、

前記状態遷移のパスを選択する為のデータに応じて前記再生信号の 1 つ以上の状態を表す状態信号を生成する段階と

を備えた請求項 1 記載のデータ再生方法。

【請求項 3】 前記平均値算出段階は、前記状態信号に応じて再生信号の状態を判断する段階と、

前記再生信号の状態毎に前記再生信号の平均値を算出する段階と

を備えた請求項 2 記載のデータ再生方法。

【請求項 4】 前記追従段階は、前記再生信号の平均値に応じて前記ビタビ復号アルゴリズムで使用する 1 つ以上の期待値を決定する段階と、

前記決定した期待値をビタビ検出器に供給する段階と

を備えた請求項 1 記載のデータ再生方法。

【請求項 5】 記録媒体からの再生信号が供給され、ビタビ復号アルゴリズムに従って前記再生信号から最も確からしい状態遷移のパスを選択し、そのパスに応じたデータを再生するデータ再生装置において、

前記状態遷移のパスを選択する為のデータに応じて前記再生信号の状態を1つ以上検出する検出手段と、

前記検出された1つ以上の再生信号の状態毎に前記再生信号の平均値を算出する平均値算出手段と、

前記再生信号の平均値に応じて前記再生信号の直流成分の変動量に追従する追従手段と
を備えたデータ再生装置。

【請求項6】 前記検出手段は、ビタビ検出器のパスメモリに供給されるデータを前記状態遷移のパスを選択する為のデータとして供給され、前記状態遷移のパスを選択する為のデータに応じて前記再生信号の1つ以上の状態を表す状態信号を生成することを特徴とする請求項5記載のデータ再生装置。

【請求項7】 前記平均値算出手段は、前記状態信号に応じて再生信号の状態を判断して前記再生信号の状態毎に前記再生信号の平均値を算出することを特徴とする請求項6記載のデータ再生装置。

【請求項8】 前記追従手段は、前記再生信号の平均値に応じて前記ビタビ復号アルゴリズムで使用する1つ以上の期待値を決定し、前記決定した期待値をビタビ検出器に供給することを特徴とする請求項5記載のデータ再生装置。

【請求項9】 前記再生信号の状態は、前記再生信号のピーク部分、センター部分、ボトム部分であることを特徴とする請求項5乃至8何れか一項記載のデータ再生装置。

【請求項10】 パーシャルレスポンス波形に従ってデータが記録されている記録媒体からの再生信号が供給され、ビタビ復号アルゴリズムに従って前記再生信号から最も確からしい状態遷移のパスを選択し、そのパスに応じたデータを再生する光磁気ディスク装置において、

ビタビ検出器から供給される前記状態遷移のパスを選択する為のデータに応じて前記再生信号の状態を1つ以上検出する検出手段と、

前記検出された1つ以上の再生信号の状態毎に前記再生信号の平均値を算出する平均値算出手段と、

前記再生信号の平均値に応じて前記再生信号の直流成分の変動量に追従する追

従手段と

を備えた光磁気ディスク装置。

【発明の詳細な説明】

【0001】

【発明の属する技術分野】

本発明は、データ再生方法及びデータ再生装置並びに光磁気ディスク装置に係り、特にパーシャルレスポンス・最尤検出（P R M L）方式を利用するデータ再生方法及びデータ再生装置並びに光磁気ディスク装置に関する。

【0002】

【従来の技術】

例えば、光磁気ディスク装置は、大容量、低価格、高信頼性等により、画像・イメージ情報の記録再生やコンピュータ用の各種コードデータの記録再生等、様々な分野での利用が図られている。このような光磁気ディスク装置は更なる大容量化が望まれており、高密度に記録されたデータを高精度に再生するデータ再生方法が必要となる。

【0003】

データの再生を高精度に行う方法としては、例えば記録データを所謂パーシャルレスポンス（P R）波形に変調して光磁気ディスクに記録し、その光磁気ディスクからの再生信号を所定周期でサンプリングした後に所謂ビタビ検出器（最尤データ検出器）にて最も確からしいデータを検出する方法がある。

【0004】

例えば光磁気ディスク装置のデータ再生系は、データを光磁気ディスクから再生するときに再生信号の直流成分の変動量（以下、オフセット量という）を算出し、算出したオフセット量をP R M L再生系の期待値にフィードバックすることで再生能力を向上させていた。

【0005】

図1は、データ再生系100の一例の構成図を示す。図1において、アナログデジタル変換器101は例えば光磁気ディスクから再生されたアナログ再生信号を供給され、供給されたアナログ再生信号をデジタル信号に変換する。デジタル

イコライザ 1 0 2 はアナログデジタル変換器 1 0 1 から供給されるデジタル信号を波形成形してビタビ検出器 1 0 3 に供給する。

【 0 0 0 6 】

ビタビ検出器 1 0 3 は、アナログデジタル変換器 1 0 1 からデジタルイコライザ 1 0 2 を介して供給されるアナログ再生信号のサンプリング値からビタビ復号アルゴリズムに従って記録データを検出する。

【 0 0 0 7 】

アナログ再生信号のサンプリング値は、ビタビ検出 1 0 3 のブランチメトリック計算ユニット（以下、BM という）1 0 4 に供給される。BM 1 0 4 は供給されるサンプリング値 y_t と期待値との差であるブランチメトリック値（以下、BM 値という）を算出する。期待値は PR 波形に依存する値であり、アナログ再生信号が本来とりうる値である。BM 値は、1 つのサンプリング値 y_t が供給されると、各期待値ごとに算出される。

【 0 0 0 8 】

Add-Compare-Select ユニット（以下、ACS という）1 0 5 は、前述した BM 値とパスメトリックメモリ（以下、PMM という）1 0 6 に格納されている 1 クロック前のパスメトリック値（以下、PM 値）とを加算し、この加算後の PM 値を 2 つずつ比較する。そして、ACS 1 0 5 は比較の結果、小さい方の PM 値を新たな PM 値として選択し、選択した PM 値を PMM 1 0 6 に格納する。このように、小さい方の PM 値を選択することは、状態遷移のパスを選択することに相当する。即ち、ACS 1 0 5 は PM 値が最小となる状態遷移のパスを常に選択している。

【 0 0 0 9 】

PM 1 0 7 は、前述のように選択されたパスに相当するデータ（2 値データ）が ACS 1 0 5 から供給される。PM 1 0 7 は、選択された各パスに対応するデータを順次シフトし、その過程で選択されなかった各パスに対応するデータを順次淘汰していく。そして、PM 1 0 7 は生き残ったパスに対応するデータを復調信号として出力している。

【 0 0 1 0 】

また、ACS 1 0 5 は選択した PM 値を最小値選択器 1 0 8 に供給する。最小値選択器 1 0 8 は PM 値の最小値を選択し、選択した PM 値をオフセット量検出器 1 0 9 に供給する。オフセット量検出器 1 0 9 は、供給された PM 値に基づき例えばスライド平均法等を用いてオフセット量を算出していた。図 1 のデータ再生系では算出されたオフセット量を期待値に加算し、オフセット量が加算された期待値を BM 1 0 4 に供給することにより、算出したオフセット量を PRML 再生系の期待値にフィードバックしていた。

【 0 0 1 1 】

図 2 は、データ再生系 1 0 0 の他の一例の構成図を示す。図 2 において、デジタルイコライザ 1 0 2 はアナログデジタル変換器 1 0 1 から供給されるデジタル信号を波形成形してビタビ検出器 1 0 3 及び比較器 1 1 1 に供給する。比較器 1 1 1 はアナログ再生信号のサンプリング値が供給される一方、オフセット量検出器 1 0 9 からのオフセット量と閾値との加算値が供給される。

【 0 0 1 2 】

比較器 1 1 1 は、供給されるサンプリング値とオフセット量及び閾値の加算値とを比較し、その比較結果を状態検出器 1 1 2 に供給する。状態検出器 1 1 2 は供給された比較結果に基づきサンプリング値の状態を判定し、その判定結果をオフセット量検出器 1 0 9 及び各期待値計算器 1 1 3 に供給する。

【 0 0 1 3 】

各期待値計算器 1 1 3 は供給される判定結果に応じて各期待値を算出し、算出した各期待値を BM 1 0 4 に供給することによりオフセット量を PRML 再生系の期待値にフィードバックしていた。なお、オフセット量検出器 1 0 9 は状態検出器 1 1 2 から供給される判定結果に基づきオフセット量を算出する。

【 0 0 1 4 】

図 3 は、データ再生系 1 0 0 の他の一例の構成図を示す。図 3 において、デジタルイコライザ 1 0 2 はアナログデジタル変換器 1 0 1 から供給されるデジタル信号を波形成形してビタビ検出器 1 0 3 及びシフトレジスタ 1 1 4 に供給する。シフトレジスタ 1 1 4 は、供給されるアナログ再生信号のサンプリング値を所定時間遅延させて AND 回路 1 1 6 の一方の端子に供給する。

【0015】

また、PM107は生き残ったパスに対応するデータを復調信号として出力する一方、その復調信号を状態検出器115に供給する。状態検出器115は供給された復調信号に基づきサンプリング値の状態を判定し、その判定結果をAND回路116の他方の端子に供給する。

【0016】

AND回路116はシフトレジスタ114から供給されるサンプリング値と状態検出器115から供給される判定結果との論理積を算出し、その算出結果を各期待値計算器113に供給する。各期待値計算器113は供給される算出結果に応じて各期待値を算出し、算出した各期待値をBM104に供給することによりオフセット量をPRML再生系の期待値にフィードバックしていた。

【0017】

【発明が解決しようとする課題】

しかしながら、図1のデータ再生系100は、サンプリング値と期待値との差が大きいとPM値の最小値を正しく選択することができない。したがって、図1のデータ再生系100は、誤ったオフセット量を算出する場合があるという問題があった。

【0018】

図2のデータ再生系100は、閾値とサンプリング値とを比較する為に回路規模が増大するという問題があった。また、図2のデータ再生系100は閾値自体をオフセット量に追従させる必要がある為、閾値の設定が難しいという問題があった。

【0019】

図3のデータ再生系100は、PM107から出力される復調信号を利用する為にPM107の処理時間分の遅延が発生し、期待値へのフィードバックが遅延するという問題があった。また、図3のデータ再生系100はPM107から出力される復調信号を利用する為に、サンプリング値を遅延させるシフトレジスタ114が必要となる。したがって、図3のデータ再生系100は回路規模が増大するという問題があった。

【 0 0 2 0 】

本発明は、上記の点に鑑みなされたもので、データ再生系の回路規模を増大させることなく正確なオフセット量を算出することができ、PRML再生系の期待値を直流成分の変動に素早く追従させることが可能なデータ再生方法及びデータ再生装置並びに光磁気ディスク装置を提供することを目的とする。

【 0 0 2 1 】

【課題を解決するための手段】

そこで、上記課題を解決するため、本発明は、記録媒体からの再生信号が供給され、ビタビ復号アルゴリズムに従って前記再生信号から最も確からしい状態遷移のパスを選択し、そのパスに応じたデータを再生するデータ再生方法において、前記状態遷移のパスを選択する為のデータに応じて前記再生信号の状態を1つ以上検出する状態検出段階と、前記検出された1つ以上の再生信号の状態毎に前記再生信号の平均値を算出する平均値算出段階と、前記再生信号の平均値に応じて前記再生信号の直流成分の変動量に追従する追従段階とを備えるように構成される。

【 0 0 2 2 】

このようなデータ再生方法では、状態遷移のパスを選択する為のデータに応じて再生信号の状態（例えばピーク部分、センター部分、ボトム部分）を1つ以上検出し、その再生信号の状態毎に再生信号の平均値を算出することで、再生信号の直流成分の変動量を算出している。つまり、本発明のデータ再生方法では、最も確からしい状態遷移のパスを選択し、そのパスに応じたデータに応じて再生信号の状態を検出するものではない為、素早く再生信号の直流成分の変動量を算出することができる。また、状態遷移のパスを選択する為のデータに応じて前記再生信号の状態を1つ以上検出する為、データ再生系の回路規模を増大させることなく正確なオフセット量を算出することが可能である。

【 0 0 2 3 】

【発明の実施の形態】

次に、本発明の実施の形態について図面に基づいて説明する。

【 0 0 2 4 】

図4は、本発明のデータ再生系の一実施例の構成図を示す。図4のデータ再生系1は、アナログデジタル変換器(A d c) 1 0 1, デジタルイコライザ(D e q) 1 0 2, ビタビ検出器1 0 3, 自動期待値追従器1 0を有するように構成される。例えば光磁気ディスク等の記録媒体から光学ヘッドを介して再生されたアナログ再生信号がアナログデジタル変換器1 0 1に供給される。なお、アナログ再生信号は増幅器等で増幅された後にアナログデジタル変換器1 0 1に供給してもよい。

【0025】

アナログデジタル変換器1 0 1は、図示しないクロック生成回路からのクロック信号に同期して動作する。即ち、供給されたアナログ再生信号がアナログデジタル変換器1 0 1にてサンプリングされ、そのサンプリング値 y_t がクロック信号に同期してアナログデジタル変換器1 0 1から出力される。

【0026】

アナログデジタル変換器1 0 1からクロック信号に同期して順次出力されるアナログ再生信号のサンプリング値 y_t は、デジタルイコライザ1 0 2に供給される。デジタルイコライザ1 0 2は、供給されたサンプリング値 y_t をPR (1, 1) に波形等化し、波形等化したサンプリング値 y_t をビタビ検出器1 0 3に供給する。ビタビ検出器1 0 3は、順次供給されるサンプリング値 y_t からビタビ復号アルゴリズムに従って復調信号を出力するものである。

【0027】

ビタビ検出器1 0 3は、BM1 0 4, ACS1 0 5, PMM1 0 6及びPM1 0 7を有する。アナログ再生信号のサンプリング値 y_t は、ビタビ検出1 0 3のBM1 0 4に供給される。BM1 0 4は供給されるサンプリング値 y_t と期待値との差であるBM値を算出する。期待値はPR波形に依存する値であり、アナログ再生信号が本来とりうる値である。BM値は、1つのサンプリング値 y_t が供給されると、各期待値ごとに算出される。

【0028】

以下、発明の理解を容易とする為に、RL L (1, 7) 符号を対象にD制約有りの3値4状態のPR (1, 1) の例について説明するが、これに限らない。な

お、RLL (1, 7) 符号のD制約により状態を2種類省くことができる。この理由は、RLL (1, 7) 符号のD制約から細密パターンが「1010101010・・・」のRZ信号をNRZ信号に変換すると「1100110011・・・」となり、「010」又は「101」という状態が無くなることに基づく。具体的に、BM値BM2, BM5が省かれることになる。

【0029】

上記の場合、取りうる状態は4つでS0 (0, 0), S1 (0, 1), S2 (1, 0), S3 (1, 1)となる。また、取りうる期待値は6つでP0, P1, P3, P4, P6, P7となる。BM104はサンプリング値 y_t と期待値P0, P1, P3, P4, P6, P7との差であるBM値BM0, BM1, BM3, BM4, BM6, BM7を以下の式(1)～(6)を利用して算出する。

【0030】

$$BM0 = |y_t - P0| \cdots (1)$$

$$BM1 = |y_t - P1| \cdots (2)$$

$$BM3 = |y_t - P3| \cdots (3)$$

$$BM4 = |y_t - P4| \cdots (4)$$

$$BM6 = |y_t - P6| \cdots (5)$$

$$BM7 = |y_t - P7| \cdots (6)$$

BM104は、式(1)～(6)を利用して算出したBM値BM0, BM1, BM3, BM4, BM6, BM7をACS105に供給する。ACS105は、供給されたBM値BM0, BM1, BM3, BM4, BM6, BM7とPMM106に格納されている1クロック前のPM値PM0～3とをマージ条件に応じて加算し、PM値PM0～3が最小BM値BM0, BM3, BM4, BM6, BM7の積算値であるように、以下の式(7)～(10)を利用して算出する。

【0031】

$$PM0(t) = \min \{ BM0 + PM0(t-1), BM1 + PM1(t-1) \} \cdots (7)$$

$$PM1(t) = BM3 + PM3(t-1) \cdots (8)$$

$$PM2(t) = BM4 + PM4(t-1) \cdots (9)$$

$$PM3(t) = \min \{ BM6 + PM2(t-1), BM7 + PM3(t-1) \} \cdots (10)$$

このように、小さい方のPM値を選択することは、状態遷移のパスを選択することに相当する。即ち、ACS105はPM値が最小となる状態遷移のパスを常に選択している。つまり、ACS105は選択したパスに相当するデータ（2値データ）をPM107に供給している。

【0032】

なお、 $PM0(t)$ の $\{BM0 + PM0(t-1)\}$ が状態S0から状態S0への遷移に対応し、 $PM0(t)$ の $BM1 + PM1(t-1)$ が状態S0からS2への遷移に対応する。また、 $PM3(t)$ の $\{BM6 + PM2(t-1)\}$ が状態S3から状態S1への遷移に対応し、 $PM3(t)$ の $BM7 + PM3(t-1)$ が状態S3からS3への遷移に対応する。

【0033】

上記式(7)の $PM0(t)$ 及び式(10)の $PM3(t)$ における要素の大小関係は、以下の式(11)～(14)に示す4つの条件がある。

【0034】

$$BM0 + PM0(t-1) < BM1 + PM1(t-1) \cdots (11)$$

$$BM0 + PM0(t-1) \geq BM1 + PM1(t-1) \cdots (12)$$

$$BM6 + PM2(t-1) < BM7 + PM3(t-1) \cdots (13)$$

$$BM6 + PM2(t-1) \geq BM7 + PM3(t-1) \cdots (14)$$

これら4つの条件の組み合わせにより発生するマージ条件は、図5に示すように4種類に分類される。図5は、条件の組み合わせにより発生するマージ条件の一例について説明する図を示す。

【0035】

図5は、式(11)及び式(13)が成立する条件の組み合わせ(1)、式(12)及び式(13)が成立する条件の組み合わせ(2)、式(11)及び式(14)が成立する組み合わせ(3)、式(12)及び式(14)が成立する組み合わせ(4)に分類されており、その条件の組み合わせにより発生するマージ条件をトレリス線図で表している。また、図5は、その条件の組み合わせにより発

生するマージ条件、言い替えれば選択したパスに相当するデータD0～D3の値を表している。

【0036】

例えばデータD0=0が状態S0から状態S0へのパスに相当し、データD0=1が状態S1から状態S0へのパスに相当し、データD1=1が状態S3から状態S1へのパスに相当し、データD2=0が状態S0から状態S2へのパスに相当し、データD3=0が状態S2から状態S3へのパスに相当し、データD3=1が状態S3から状態S3へのパスに相当する。

【0037】

また、図5の条件の組み合わせ(1)～(4)により発生する4種類のマージ条件を3つ以上組み合わせることにより、図6に示すような8種類のパスマージが発生する。図6は、パスマージの一例について説明する図を示す。

【0038】

図6は、上段に図5の条件の組み合わせ(1)～(4)により発生する4種類のマージ条件の組み合わせ、下段にそのマージ条件の組み合わせに応じたパスマージを表している。なお、図6中、「●」印は、その状態までパスが確定されたことを表す。例えばマージ条件の組み合わせが(1)→(1)→(1)のパスマージは、パスの連続性により「●」印の状態までパスが確定する。

【0039】

PM107は、前述のようにACS105から供給された各パスに相当するデータを順次シフトし、その過程で選択されなかった各パスに対応するデータを順次淘汰していく。そして、PM107は生き残ったパスに対応するデータを復調信号として出力している。

【0040】

図7は、パスメモリの一例の構成図を示す。図7のパスメモリ107は、ACS105から選択したパスに相当するデータD0～D3が供給される。なお、データD0～D3は、図5のマージ条件に応じて決められている。図7のパスメモリ107はデータD0～D3に対応するように、並列に構成されたシフトレジスタ20(0)～20(3)，セレクタ21(0)～21(3)，シフトレジスタ

2 2 (0) ~ 2 2 (3) , セレクタ 2 3 (0) ~ 2 3 (3) , シフトレジスタ 2 4 (0) ~ 2 4 (3) , . . . , セレクタ 2 5 (0) ~ 2 5 (3) を有する。つまり、各シフトレジスタとセレクタとが交互に配列されており、シフトレジスタに供給されるデータ D 0 ~ D 3 がセレクタで選択される。

【 0 0 4 1 】

例えばデータ D 3 に “ 1 ” が供給されると、図 5 のマージ条件に基づき状態 S 3 から状態 S 3 へのパスが確からしいと判断し、データ D 3 の全てのシフトレジスタは時刻 $t - 1$ のデータ D 3 を時刻 t のデータとする。一方、データ D 3 に “ 0 ” が供給されると、図 5 の状態遷移から状態 S 2 から状態 S 3 へのパスが確からしいと判断し、データ D 3 の全てのシフトレジスタは時刻 $t - 1$ のデータ D 2 を時刻 t のデータとする。

【 0 0 4 2 】

このような動作を各シフトレジスタ及びセレクタが行うことで確からしいパスを残していき、図 6 のパスマージが発生した時点で最も確からしいパスのみが残っている。つまり、図 6 のパスマージが発生した後、データ D 0 ~ D 3 のシフトレジスタは同じデータとなる。したがって、十分な段数を有する PM 1 0 7 の場合、復調信号はデータ D 0 ~ D 3 に対応するシフトレジスタのうち何れか一つを出力すればよい。なお、図 5 に示されるように、データ D 1 には常に 1 が供給され、データ D 2 には常に 0 が供給される。これは、R L L (1 , 7) 符号の D 制約によるものである。以下、A C S 1 0 5 から供給されるデータ D 0 ~ D 3 を軟判定結果と呼ぶ。

【 0 0 4 3 】

自動期待値追従器 1 0 は、シフトレジスタ 1 1 , パスマージ絶対条件検出器 1 2 , A N D 回路 1 3 , 各期待値計算器 1 4 を有する。パスマージ絶対条件検出器 1 2 は軟判定結果のうちデータ D 0 , D 3 が供給される。このパスマージ絶対条件検出器 1 2 は、パスマージが発生する条件を限定させる。

【 0 0 4 4 】

具体的に、パスマージ絶対条件検出器 1 2 はデジタルイコライザ 1 0 2 からシフトレジスタ 1 1 を介して供給されるサンプリング値がピーク (peak) 値又はボ

トム (bottom) 値の時に、そのサンプリング値がピーク又はボトムを示しているかを判断する判断信号 `merge1`, `merge0` をデータ `D0`, `D3` から作成する。

【0045】

判断信号 `merge1`, `merge0` は、図8に示すようなデータ `D0`, `D3` が同時に変化する箇所30について、判断信号 `merge1`, `merge0` を無効とする。データ `D0`, `D3` が同時に変化する箇所は、エッジ (edge) の可能性が高い為である。なお、楕円31, 32に囲まれた箇所は、平均を取ることでよりビタビ復調の期待値とされる。

【0046】

図9はパスマージ絶対条件検出器の一例の構成図を示す。例えば図8 (B) のデータ `D3` がAND回路35, 負論理AND回路36, EOR回路37, D型フリップフロップ回路 (以下、`DFF` という) 39, EOR回路41に供給される。また、図8 (C) のデータ `D0` がAND回路35, 負論理AND回路36, EOR回路37, `DFF` 40, EOR回路42に供給される。

【0047】

AND回路35はデータ `D3` 及びデータ `D0` の論理積を算出し、図8 (D) に示すようなデータ `D3 & D0` をAND回路45の一方の端子に供給する。また、負論理AND回路36はデータ `D3` 及びデータ `D0` の負論理の論理積を算出し、図8 (E) に示すようなデータ `/D3 & /D0` をAND回路46の一方の端子に供給する。

【0048】

EOR回路37及び`DFF` 38は今回のデータ `D3` 及びデータ `D0` が異なり、且つ前回のデータ `D3` 及びデータ `D0` が異なることを検出し、その結果をNAND回路43, 44に供給する。即ち、EOR回路37及び`DFF` 38は2つの状態でデータ `D3` 及びデータ `D0` が異なることを検出する。

【0049】

`DFF` 39及びEOR回路41は今回のデータ `D3` と前回のデータ `D3` とが異なることを検出し、その結果をNAND回路43に供給する。即ち、データ `D3`

のエッジを検出する。また、DFF40及びEOR回路42は今回のデータD0と前回のデータD0とが異なることを検出し、その結果をNAND回路44に供給する。即ち、データD0のエッジを検出する。

【0050】

NAND回路43はデータD3が1から0に変化することを検出し、その検出結果をAND回路45の他方の端子に供給する。また、NAND回路44はデータD0が0から1に変化することを検出し、その検出結果をAND回路46の他方の端子に供給する。

【0051】

したがって、AND回路45は、例えば図8(F)の判断信号Merge1を出力する。また、AND回路46は例えば図8(G)の判断信号Merge0を出力する。

【0052】

図8中、判断信号Merge0がハイレベルのときに図8(A)のサンプリング値がボトム値となり、判断信号Merge1がハイレベルのときに図8(A)のサンプリング値がピーク値となることが分かる。パスマージ絶対条件検出器12は判断信号Merge1, 0をAND回路13に供給する。また、AND回路13はサンプリング値がデジタルイコライザ102からシフトレジスタ11を介して供給される。

【0053】

したがって、AND回路13は判断信号Merge1, 0からサンプリング値がピーク又はボトムを示しているかを判断し、その判断結果を各期待値計算器14に供給する。各期待値計算器14は、例えばボトム値、ピーク値及びセンタ値を計算し、そのボトム値、ピーク値及びセンタ値を利用することで各期待値P0～P7を決定することができる。なお、決定された各期待値P0～P7はビタビ検出器103にフィードバックされる。

【0054】

図10は、自動期待値追従器の動作の一例について説明する図を示す。なお、図10は自動期待値追従器の動作の説明に必要な部分を表したものであり、説明

に不要な部分を省略している。なお、クロック信号は必要に応じて各回路に供給される。

【0055】

図10中、シフトレジスタ50は図8(A)に示すようなサンプリング値が供給され、図8(F), (G)に示すような判断信号Merge1, 0とのタイミングを調整したサンプリング値をセレクタ51に出力する。図10では、シフトレジスタ50は例えばPR(1, 1, 0)又はPR(0, 1, 1)に応じてタイミングを調整したサンプリング値をセレクタ51に出力している。光磁気ディスクにID部とMO部とがある場合、ID部及びMO部のデータ周波数が異なる場合に対応することも可能である。

【0056】

セレクタ51は例えばPR(1, 1, 0)又はPR(0, 1, 1)を選択する選択信号1が供給され、その選択信号1に応じてPR(1, 1, 0)又はPR(0, 1, 1)のタイミングに調整されたサンプリング値を移動平均回路53, 54に供給する。

【0057】

また、パスマージ絶対条件検出器としてのD0, D3論理回路52は、ACS105からデータD0, D3が供給され、前述したようにデータD0, D3から判断信号merge1, merge0を作成する。D0, D3論理回路52は作成した判断信号merge0を移動平均回路53に供給する。また、D0, D3論理回路52は作成した判断信号merge1を移動平均回路54に供給する。

【0058】

移動平均回路53はサンプリング値のボトム値を示す判断信号merge0を利用し、例えば図8(A)の楕円31に囲まれた箇所のボトム平均値を以下の式(15)を用いて算出する。

【0059】

平均値(t) = {平均値(t-1) × (n-1) + サンプリング値} / n…
 …(15)

ここで、nは平均対象とするサンプル個数であり、平均個数と呼ぶ。また、移

動平均回路 5 3 は判断信号 `merge 0` がハイレベルのとき、言い替えればサンプリング値がボトム値を示すときに平均値を算出する。

【 0 0 6 0 】

移動平均回路 5 4 はサンプリング値のピーク値を示す判断信号 `merge 1` を利用し、例えば図 8 (A) の楕円 3 2 に囲まれた箇所のピーク平均値を上記の式 (1 5) を用いて算出する。移動平均回路 5 3 は判断信号 `merge 1` がハイレベルのとき、言い替えればサンプリング値がピーク値を示すときに平均値を算出する。

【 0 0 6 1 】

移動平均回路 5 3 から出力されるボトム平均値は、振幅調整用前計算器 5 5、減算制限回路 6 1、加算除算回路 6 2 に供給される。また、移動平均回路 5 4 から出力されるピーク平均値は、振幅調整用前計算器 5 5、加算制限回路 6 0、加算除算回路 6 2 に供給される。振幅調整用前計算器 5 5 は、減算器 5 6、除算器 5 7、除算器 5 8、セレクタ 5 9 を有する。

【 0 0 6 2 】

減算器 5 6 はピーク平均値とボトム平均値との差から振幅値を算出し、その振幅値を除算器 5 7、5 8 に供給する。除算器 5 7 は供給された振幅値を 8 で除算してセレクタ 5 9 に供給する。また、除算器 5 8 は供給された振幅値を 1 6 で除算してセレクタ 5 9 に供給する。セレクタ 5 9 は供給される 8 で除算した振幅値、1 6 で除算した振幅値、0 を選択信号 2 に応じて加算制限回路 6 0、減算制限回路 6 1、加算除算回路 6 2 に供給する。

【 0 0 6 3 】

加算制限回路 6 0 はピーク平均値とセレクタ 5 9 から供給された値とを加算すると共に、ビット幅の上限値を調整して D F F 6 3 に出力する。D F F 6 3 は加算制限回路 6 0 から供給された値をピーク値の平均値として出力する。また、減算制限回路 6 1 はボトム平均値とセレクタ 5 9 から供給された値とを減算すると共に、ビット幅の下限値を調整して D F F 6 4 に出力する。D F F 6 4 は減算制限回路 6 1 から供給された値をボトム値の平均値として出力する。さらに、加算除算回路 6 2 はボトム平均値とセレクタ 5 9 から供給された値とを加算すると共

に、その加算値を2で除算してDFF65に出力する。DFF65は加算除算回路62から供給された値をセンタ値の平均値として出力する。このボトム値、ピーク値及びセンタ値を利用することにより、各期待値P0～P7を決定することができる。

【0064】

図11は自動期待値割り当て回路の一例の構成図を示す。図11の自動期待値割り当て回路は、PR(1, 1, 0)とPR(0, 1, 1)とに対応しており、選択信号1に応じてPR(1, 1, 0)又はPR(0, 1, 1)用の期待値P0～P7を出力する。

【0065】

例えばボトム値の平均値が期待値P0, P1及びP4を選択する端子に供給され、センタ値の平均値が期待値P1, P3, P4及びP6を選択する端子に供給され、ピーク値の平均値が期待値P3, P6及びP7を選択する端子に供給される。

【0066】

図12は、本発明のデータ再生系の他の実施例の構成図を示す。なお、図12のデータ再生系は一部を除き図4のデータ再生系と同様であり、同一部分には同一符号を付して説明を省略する。

【0067】

図12中、各期待値計算器14はセンタ値を減算器15に供給する。減算器15はセンタ値の他、オフセット量を検出する為に任意に設定される設定値REG1が供給される。減算器15はセンタ値と設定値REG1との差をデジタルイコライザ102の前段に設けた加算器16に供給する。したがって、図12のデータ再生系は、サンプリング値に含まれるオフセット量をキャンセルすることができる。

【0068】

本発明は、以下の付記に記載されているような構成が考えられる。

【0069】

(付記1) 記録媒体からの再生信号が供給され、ビタビ復号アルゴリズムに

従って前記再生信号から最も確からしい状態遷移のパスを選択し、そのパスに応じたデータを再生するデータ再生方法において、

前記状態遷移のパスを選択する為のデータに応じて前記再生信号の状態を 1 つ以上検出する状態検出段階と、

前記検出された 1 つ以上の再生信号の状態毎に前記再生信号の平均値を算出する平均値算出段階と、

前記再生信号の平均値に応じて前記再生信号の直流成分の変動量に追従する追従段階と

を備えたデータ再生方法。

(付記 2) 前記状態検出段階は、ビタビ検出器のパスメモリに供給されるデータを前記状態遷移のパスを選択する為のデータとして出力する段階と、

前記状態遷移のパスを選択する為のデータに応じて前記再生信号の 1 つ以上の状態を表す状態信号を生成する段階と

を備えた付記 1 記載のデータ再生方法。

(付記 3) 前記平均値算出段階は、前記状態信号に応じて再生信号の状態を判断する段階と、

前記再生信号の状態毎に前記再生信号の平均値を算出する段階と
を備えた付記 2 記載のデータ再生方法。

(付記 4) 前記追従段階は、前記再生信号の平均値に応じて前記ビタビ復号アルゴリズムで使用する 1 つ以上の期待値を決定する段階と、

前記決定した期待値をビタビ検出器に供給する段階と
を備えた付記 1 記載のデータ再生方法。

(付記 5) 前記追従段階は、前記再生信号の平均値に応じて前記再生信号の直流成分の変動量を調整する段階
を備えた付記 1 記載のデータ再生方法。

【 0 0 7 0 】

(付記 6) 前記再生信号の状態は、前記再生信号のピーク部分、センター部分、ボトム部分であることを特徴とする付記 1 乃至 5 何れか一項記載のデータ再生方法。

【 0 0 7 1 】

(付記 7) 記録媒体からの再生信号が供給され、ビタビ復号アルゴリズムに従って前記再生信号から最も確からしい状態遷移のパスを選択し、そのパスに応じたデータを再生するデータ再生装置において、

前記状態遷移のパスを選択する為のデータに応じて前記再生信号の状態を 1 つ以上検出する検出手段と、

前記検出された 1 つ以上の再生信号の状態毎に前記再生信号の平均値を算出する平均値算出手段と、

前記再生信号の平均値に応じて前記再生信号の直流成分の変動量に追従する追従手段と

を備えたデータ再生装置。

(付記 8) 前記検出手段は、ビタビ検出器のパスメモリに供給されるデータを前記状態遷移のパスを選択する為のデータとして供給され、前記状態遷移のパスを選択する為のデータに応じて前記再生信号の 1 つ以上の状態を表す状態信号を生成することを特徴とする付記 7 記載のデータ再生装置。

(付記 9) 前記平均値算出手段は、前記状態信号に応じて再生信号の状態を判断して前記再生信号の状態毎に前記再生信号の平均値を算出することを特徴とする付記 8 記載のデータ再生装置。

(付記 1 0) 前記追従手段は、前記再生信号の平均値に応じて前記ビタビ復号アルゴリズムで使用する 1 つ以上の期待値を決定し、前記決定した期待値をビタビ検出器に供給することを特徴とする付記 7 記載のデータ再生装置。

(付記 1 1) 前記追従手段は、前記再生信号の平均値に応じて前記再生信号の直流成分の変動量を調整することを特徴とする付記 7 記載のデータ再生装置。

【 0 0 7 2 】

(付記 1 2) 前記再生信号の状態は、前記再生信号のピーク部分、センター部分、ボトム部分であることを特徴とする付記 7 乃至 1 1 何れか一項記載のデータ再生装置。

(付記 1 3) パーシャルレスポンス波形に従ってデータが記録されている記録媒体からの再生信号が供給され、ビタビ復号アルゴリズムに従って前記再生信

号から最も確からしい状態遷移のパスを選択し、そのパスに応じたデータを再生する光磁気ディスク装置において、

ビタビ検出器から供給される前記状態遷移のパスを選択する為のデータに応じて前記再生信号の状態を1つ以上検出する検出手段と、

前記検出された1つ以上の再生信号の状態毎に前記再生信号の平均値を算出する平均値算出手段と、

前記再生信号の平均値に応じて前記再生信号の直流成分の変動量に追従する追従手段と

を備えた光磁気ディスク装置。

【発明の効果】

上述の如く、本発明によれば、データ再生系の回路規模を増大させることなく正確なオフセット量を算出することができ、PRML再生系の期待値を直流成分の変動に素早く追従させることが可能なデータ再生方法及びデータ再生装置並びに光磁気ディスク装置を実現できる。

【0073】

【図面の簡単な説明】

【図1】

データ再生系の一例の構成図である。

【図2】

データ再生系の他の一例の構成図である。

【図3】

データ再生系の他の一例の構成図である。

【図4】

本発明のデータ再生系の一実施例の構成図である。

【図5】

条件の組み合わせにより発生するマージ条件の一例について説明する図である。

【図6】

パスマージの一例について説明する図である。

【図 7】

パスメモリの一例の構成図である。

【図 8】

パスマージ絶対条件検出器の一例のタイミング図である。

【図 9】

パスマージ絶対条件検出器の一例の構成図である。

【図 1 0】

自動期待値追従器の動作の一例について説明する図である。

【図 1 1】

自動期待値割り当て回路の一例の構成図である。

【図 1 2】

本発明のデータ再生系の他の実施例の構成図である。

【符号の説明】

- 1, 2 データ再生系
- 1 0 自動期待値追従器
- 1 1 シフトレジスタ
- 1 2 パスマージ絶対条件検出器
- 1 3 AND回路
- 1 4 各期待値計算器
- 1 5 減算器
- 1 6 加算器
- 5 3, 5 4 移動平均回路
- 5 5 振幅調整用前計算器
- 1 0 1 アナログデジタル変換器
- 1 0 2 デジタルイコライザ
- 1 0 3 ビタビ検出器
- 1 0 4 ブランチメトリック計算ユニット (BM)
- 1 0 5 Add-Compare-Selectユニット (ACS)
- 1 0 6 パスメトリックメモリ (PMM)

特 2 0 0 1 - 0 6 3 8 9 5

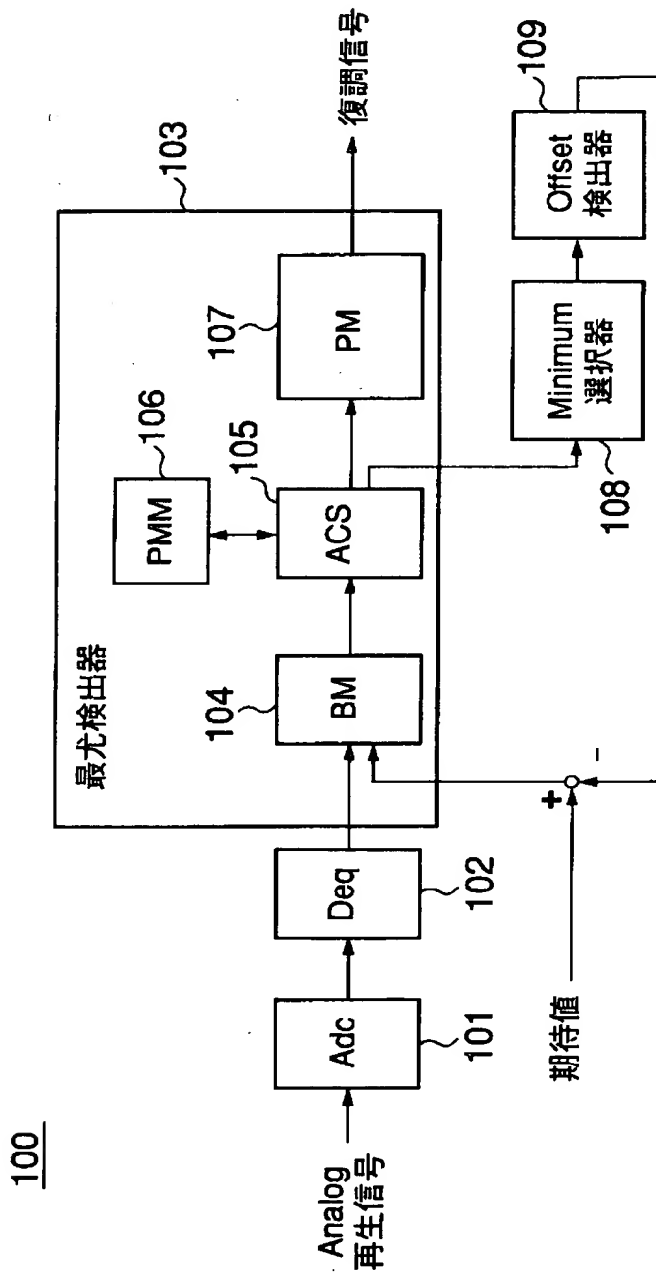
1 0 7 パスメモリ (PM)

【書類名】

図面

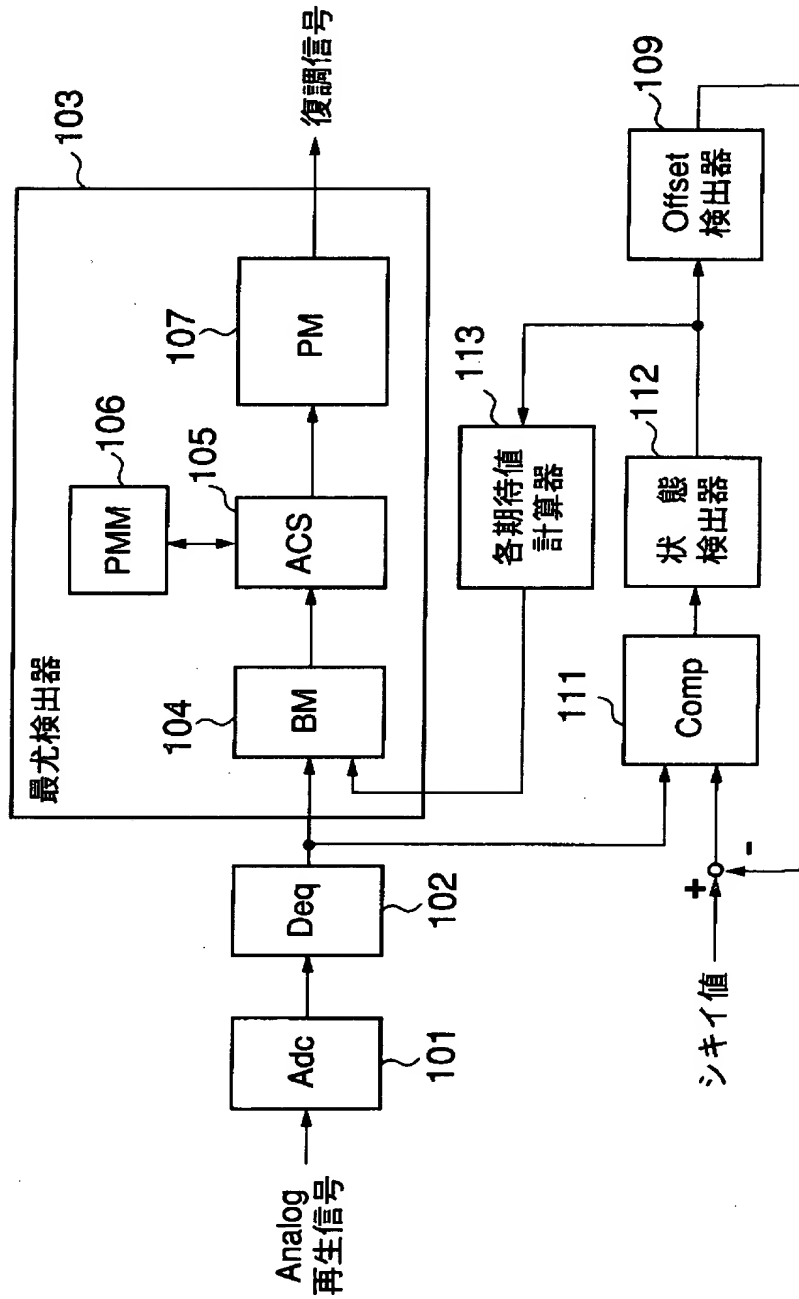
【図 1】

データ再生系の一例の構成図



【図 2】

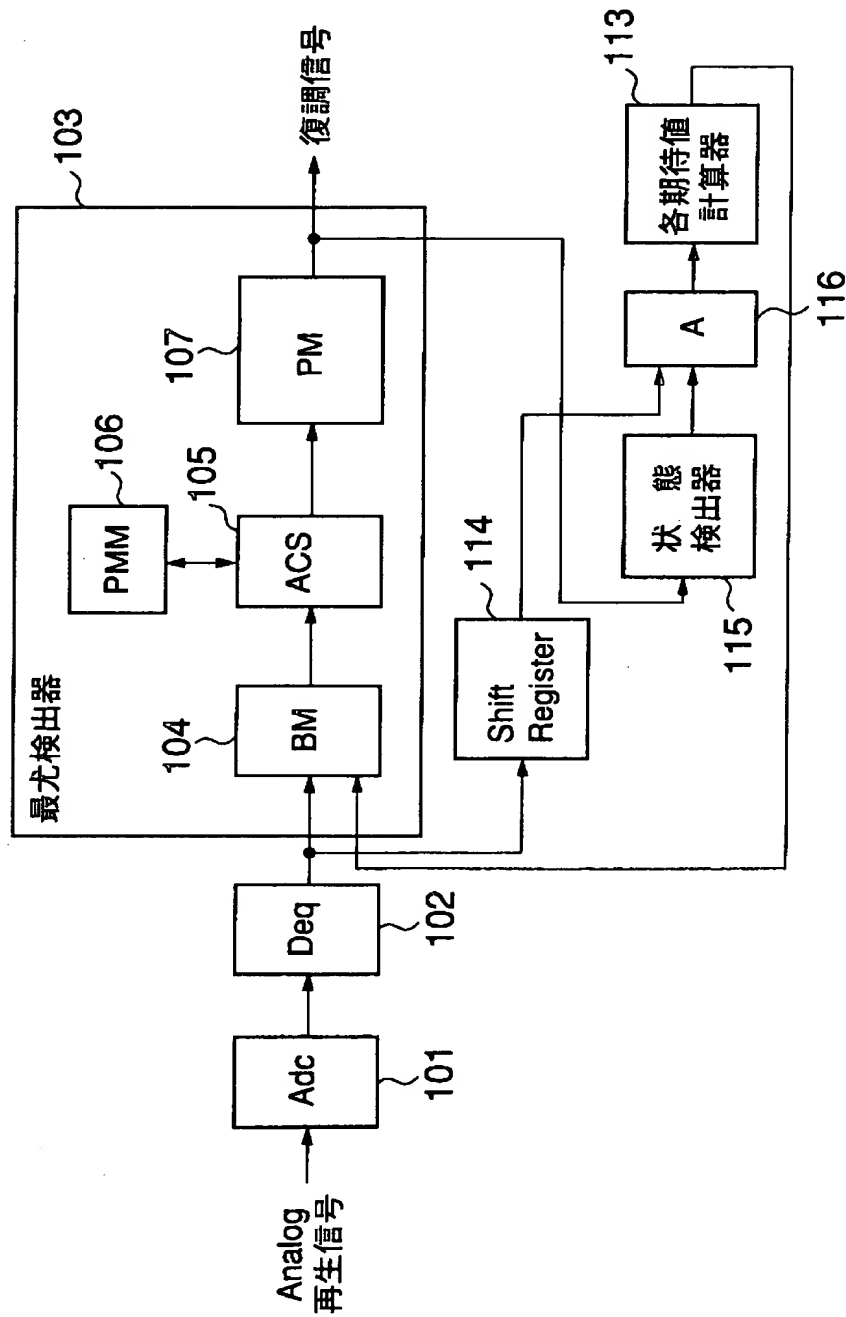
データ再生系の他の一例の構成図



【図 3】

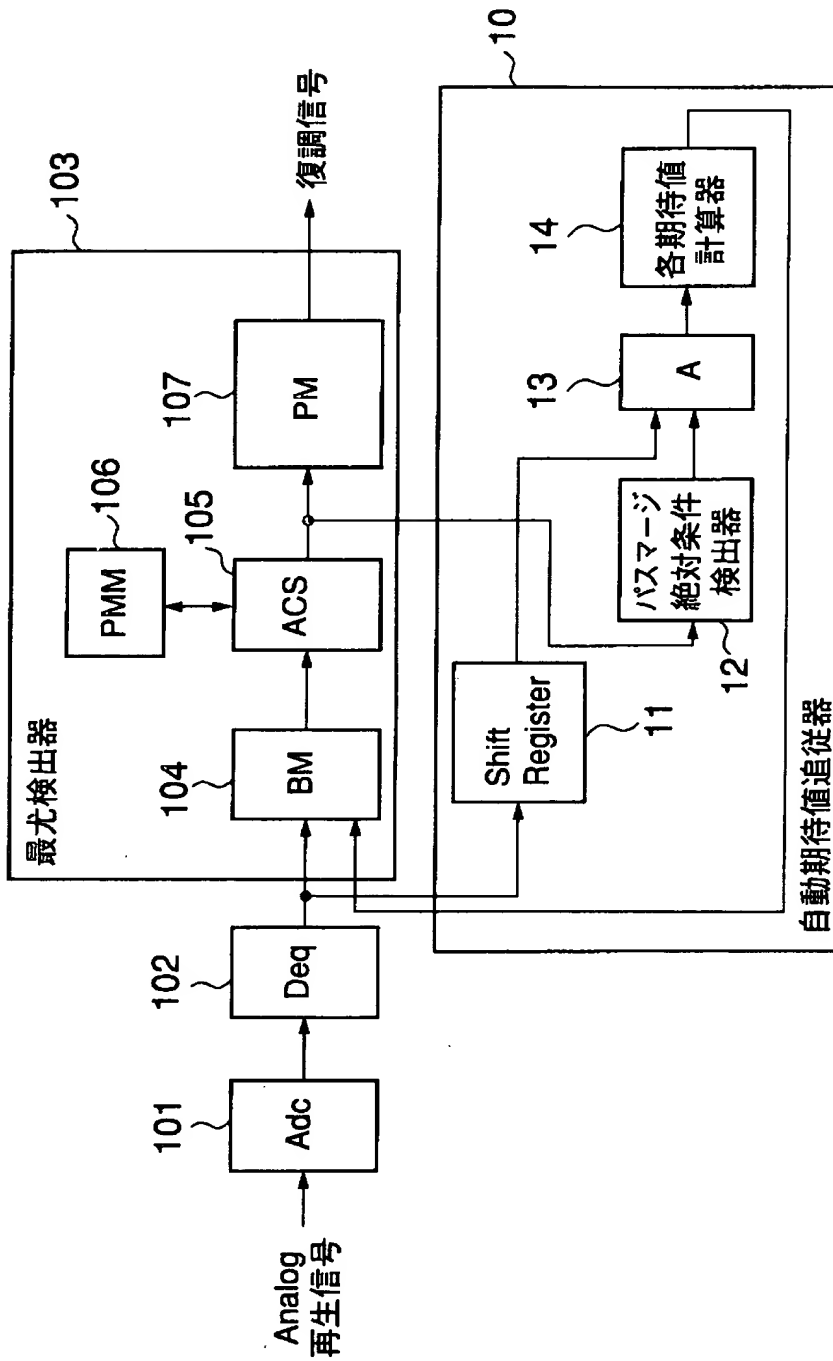
データ再生系の他の一例の構成図

100



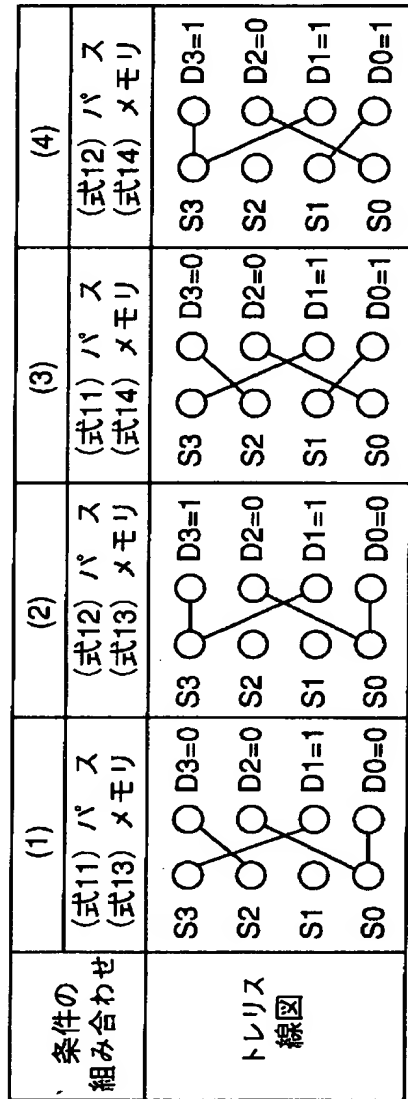
【図 4】

本発明のデータ再生系の一実施例の構成図



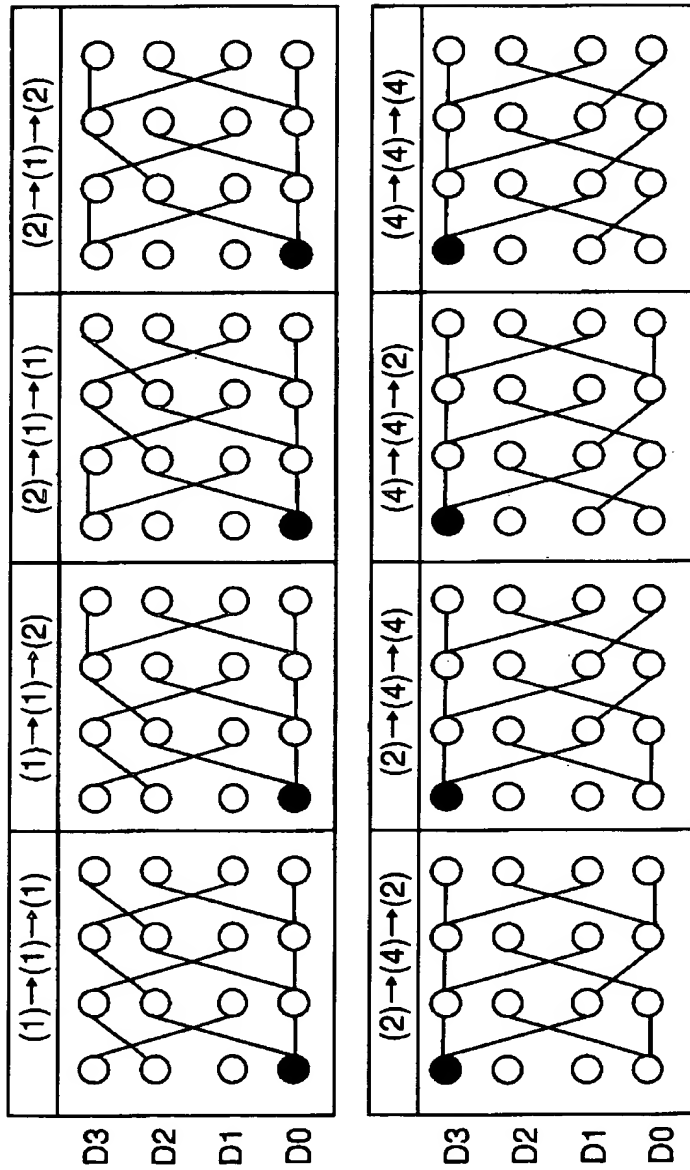
【図 5】

条件の組み合わせにより発生するマージ条件の一例について説明する図



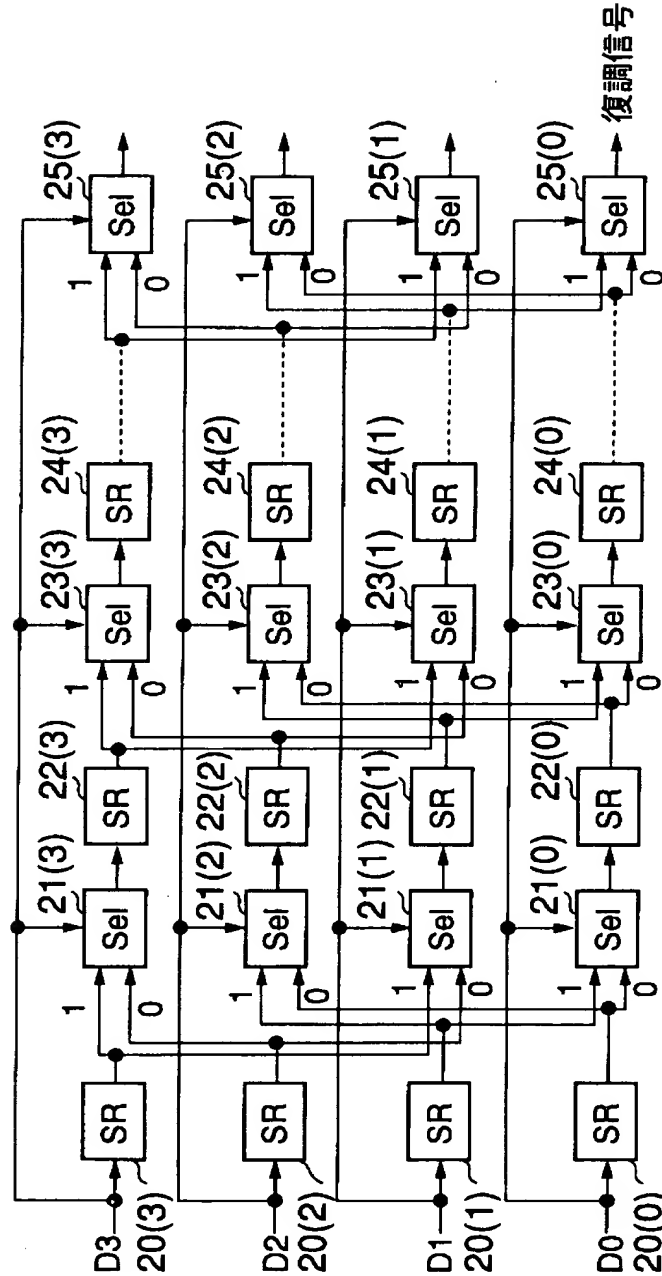
【図6】

パスマージの一例について説明する図



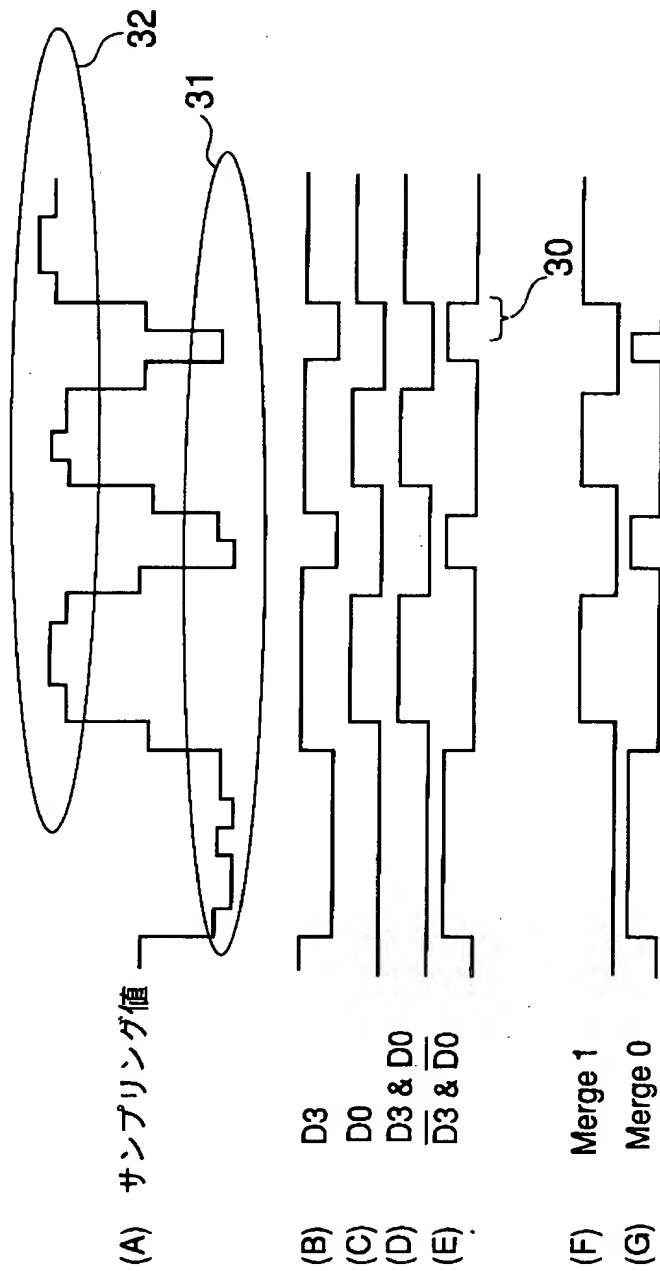
【図 7】

バスメモリの一例の構成図



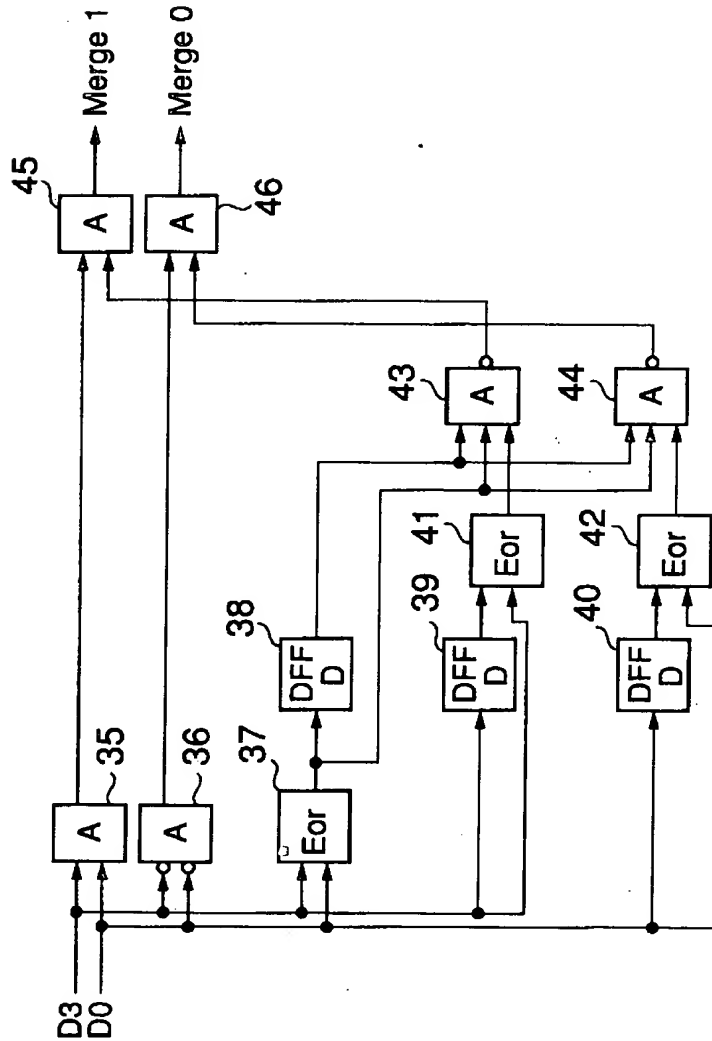
【図 8】

パスマージ絶対条件検出器の一例のタイミング図



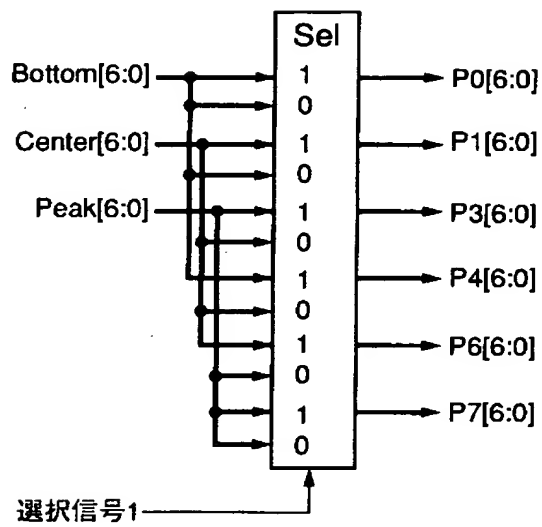
【図 9】

パスマージ絶対条件検出器の一例の構成図



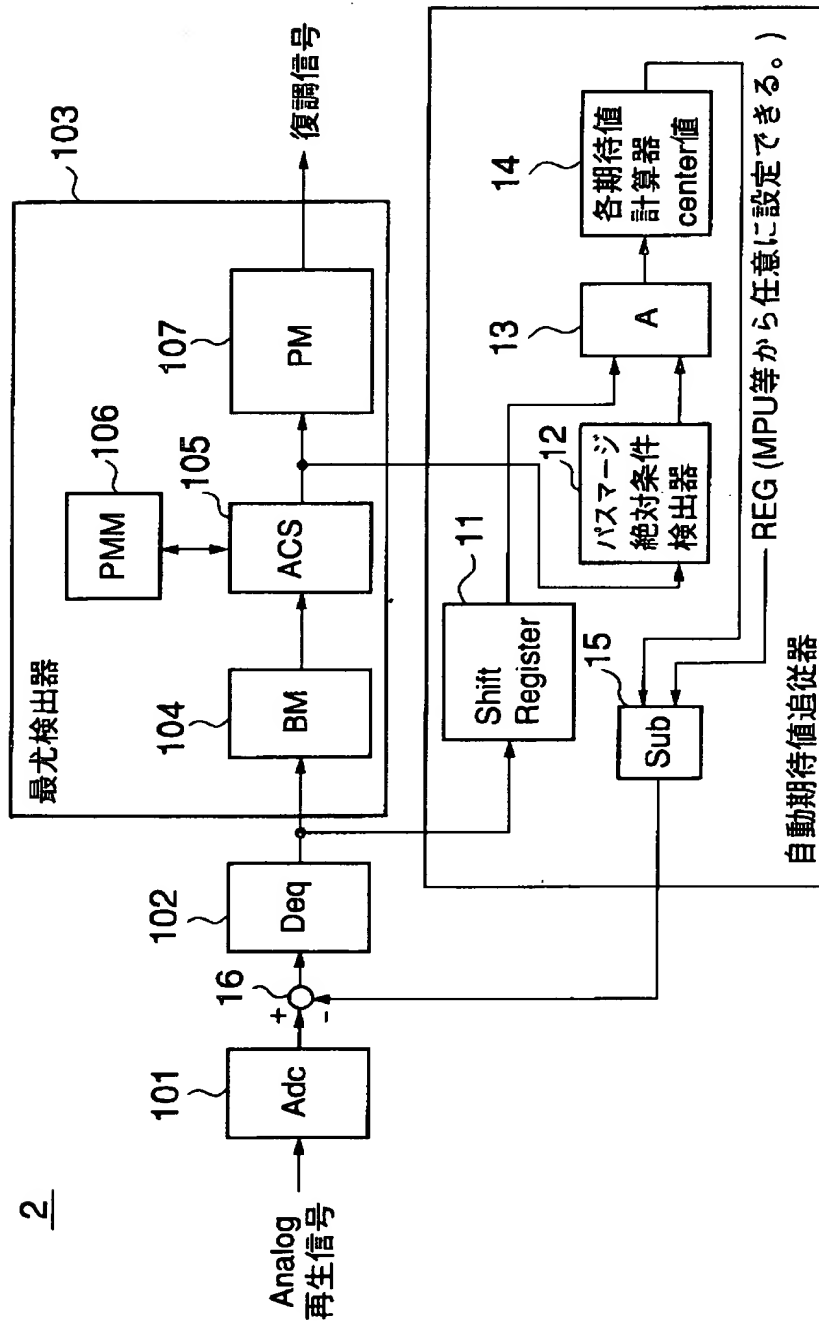
【図 1 1】

自動期待値割り当て回路の一例の構成図



【図12】

本発明のデータ再生系の他の実施例の構成図



【書類名】 要約書

【要約】

【課題】 データ再生系の回路規模を増大させることなく正確なオフセット量を算出することができ、PRML再生系の期待値を直流成分の変動に素早く追従させることが可能なデータ再生方法及びデータ再生装置並びに光磁気ディスク装置を提供することを目的とする。

【解決手段】 記録媒体からの再生信号が供給され、ビタビ復号アルゴリズムに従って再生信号から最も確からしい状態遷移のパスを選択し、そのパスに応じたデータを再生するデータ再生装置1において、状態遷移のパスを選択する為のデータに応じて再生信号の状態を1つ以上検出する検出手段12と、検出された1つ以上の再生信号の状態毎に再生信号の平均値を算出する平均値算出手段と、再生信号の平均値に応じて前記再生信号の直流成分の変動量に追従する追従手段14とを備えたことにより上記課題を解決する。

【選択図】 図4

出 願 人 履 歴 情 報

識別番号 [000005223]

1. 変更年月日 1996年 3月26日

[変更理由] 住所変更

住 所 神奈川県川崎市中原区上小田中4丁目1番1号

氏 名 富士通株式会社

出 願 人 履 歴 情 報

識別番号 [592019877]

1. 変更年月日	1999年 9月22日
[変更理由]	住所変更
住 所	兵庫県加東郡社町佐保35番
氏 名	富士通周辺機株式会社



Creation date: 10-26-2004
Indexing Officer: ATRAN2 - AI-FUONG TRAN
Team: OIPEBackFileIndexing
Dossier: 09901981

Legal Date: 07-22-2004

No.	Doccode	Number of pages
1	IDS	2
2	FOR	15
3	FOR	11
4	NPL	3

Total number of pages: 31

Remarks:

Order of re-scan issued on